

VIGILANCIA SINÓPTICA DE SUDAMÉRICA



INFORME
FEBRERO 2025

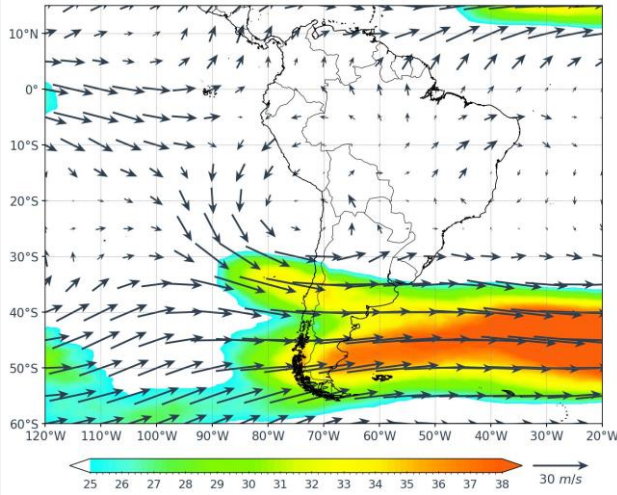


**PRÓXIMO INFORME
A ACTUALIZAR**
MARZO 2025

ANÁLISIS MENSUAL

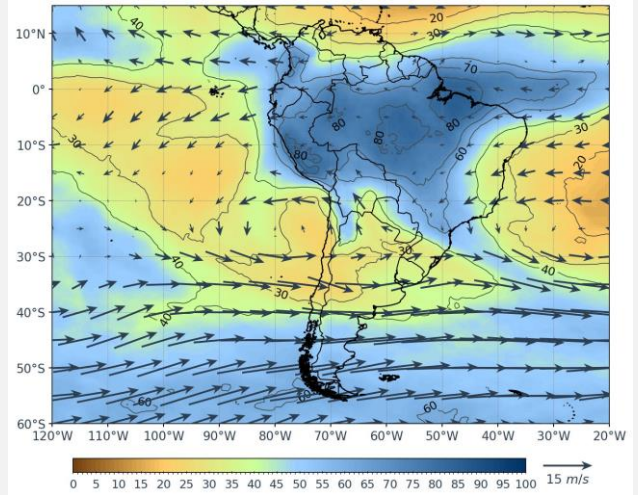
NIVELES ALTOS

Viento (m/s) – 250 hPa



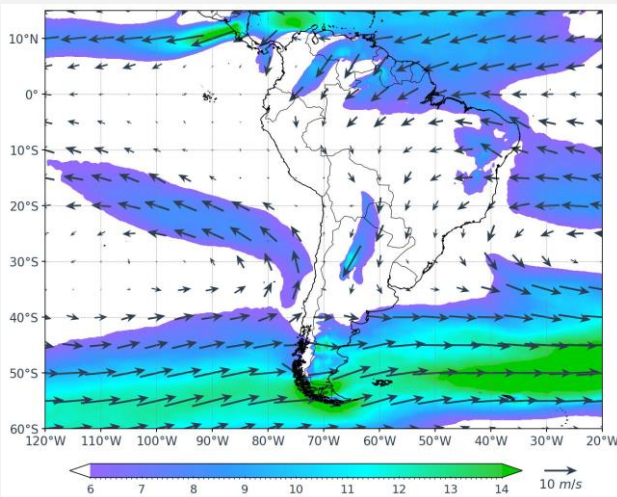
NIVELES MEDIOS

Viento (m/s) – 500 hPa/ Humedad (%)



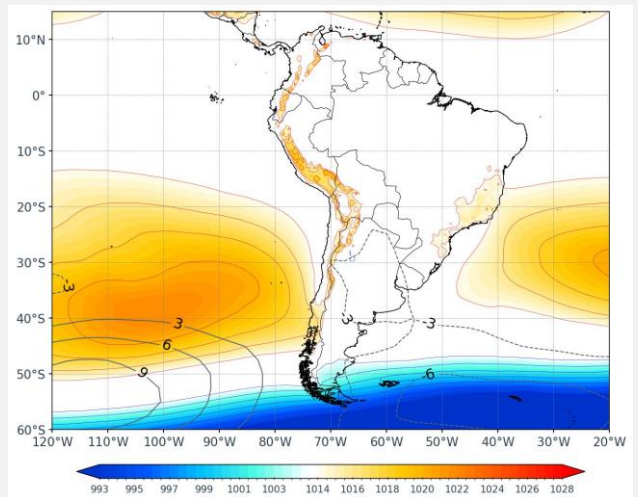
NIVELES BAJOS

Viento (m/s) – 850 hPa



SUPERFICIE

Presión reducida a nivel del mar (hPa)



Para el mes de febrero, en niveles altos, predominó la presencia de la Alta de Bolivia (AB) con núcleo sobre Bolivia (en los 22°S y 73°W aproximadamente) y con una configuración mayormente meridional, asociada a una débil Vaguada al Noreste de Brasil (VNB), aportando inestabilidad sobre Brasil, Venezuela, Colombia, Perú y Bolivia, principalmente. Asimismo, desde los 10°N hacia el sur predominaron vientos del oeste, con componente zonal dominante a partir de los 30°S, asociados a ondas ubicadas entre los 25°S a 35°S y entre los 35°S a 60°S. Por otro lado, el Jet Subtropical (JS) se presentó frecuentemente acoplado con el ramal norte del Jet Polar (JP), alcanzando una velocidad promedio máxima cercana a los 38 m/s desde los 70°W hacia longitudes menores.

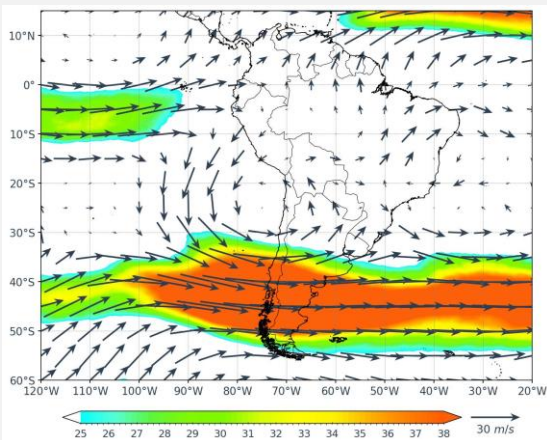
En niveles medios, predominaron flujos del oeste con componente zonal dominante desde los 30°S hacia latitudes mayores, asociados a una onda poco configurada (el cual se reflejó desde niveles altos) que presentó una vaguada de onda corta entre el sur de Brasil y Uruguay. También dominaron dos flujos anticiclónicos, uno configurado sobre el océano Pacífico (con núcleo en 25°S y 80°W) y otro al este de Brasil (que se extendió desde el océano Atlántico). Estos sistemas favorecieron el ingreso de flujos del este con humedad cercana al 80% hacia el Perú, norte de Bolivia, Brasil, sur de Colombia y Ecuador; por otro lado, sobre gran parte del resto del continente propiciaron el ingreso de aire seco con valores por debajo del 50% de humedad, principalmente al este de Brasil, centro y norte de Chile y Argentina, Paraguay, Uruguay y países del norte de Sudamérica.

En niveles bajos, a 850 hPa, predominaron flujos de componente este sobre el norte de Sudamérica aportando humedad proveniente del Atlántico sobre países del norte y centro de Sudamérica, asimismo, se presentó el incremento en la velocidad de viento sobre Bolivia, Paraguay y Argentina con valores cercanos a 11 m/s, transportando condiciones de inestabilidad hacia esos sectores, reflejando la presencia del Jet de Bajos Niveles (JBN). En superficie, el Anticiclón del Pacífico Sur (APS) predominó con configuración zonal y núcleo en los 39°S y 102°W, desplazado ligeramente hacia el suroeste de su posición climática, con una intensidad de alrededor de los 1022 hPa (ligeramente más intenso respecto a su promedio); asimismo, el Anticiclón del Atlántico Sur (AAS), se presentó en su posición climática y con una intensidad ligeramente superior a su promedio. Por otro lado, no se reflejó el paso de altas migratorias (AM) durante el mes.

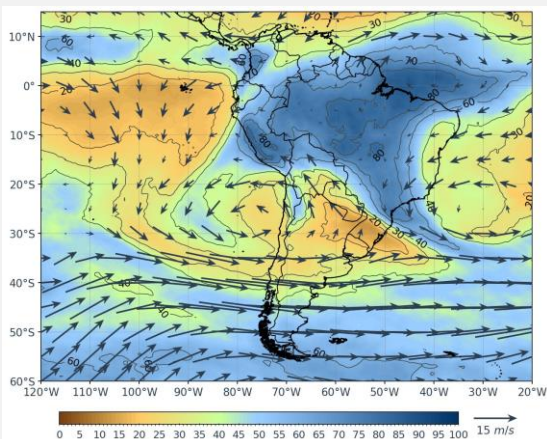
ANÁLISIS

Primera decadiaria

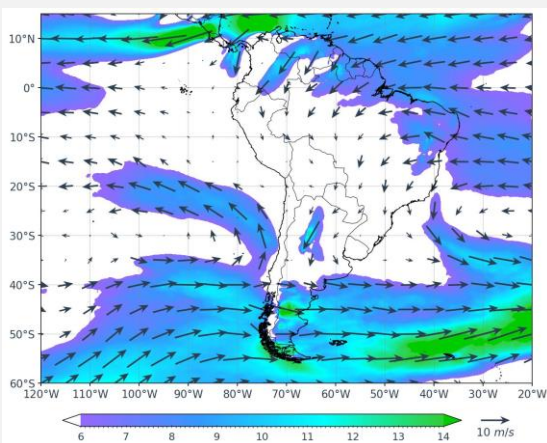
NIVELES ALTOS
Viento (m/s) – 250 hPa



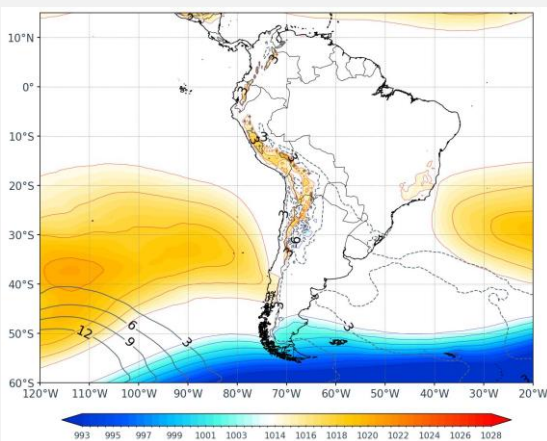
NIVELES MEDIOS
Viento (m/s) – 500 hPa/ Humedad (%)



NIVELES BAJOS
Viento (m/s) – 850 hPa



SUPERFICIE
Presión reducida a nivel del mar



En niveles altos, prevaleció la AB con una configuración meridional y núcleo sobre los 25°S y 75°W aproximadamente, asociado a la VNB que presentó eje NO-SE, influyendo principalmente sobre Perú, Brasil, Colombia, Bolivia, Chile y Argentina (generando inestabilidad en esos sectores). Así también, predominaron flujos del oeste desde 0° hacia latitudes mayores (con componente zonal dominante a partir de los 35°S), influenciados por la presencia de ondas provenientes del oeste, que presentaron una vaguada sobre el sur de Chile y Argentina (acentuando la inestabilidad). Por otro lado, el JS predominó acoplado al ramal norte del JP, quien alcanzó velocidades promedio máximas cercanas a los 38 m/s entre los 100°W hacia longitudes menores.

En niveles medios, al norte de Sudamérica prevalecieron flujos de componente este que encajonaron la humedad (entre 60-80%) hacia Bolivia, Perú, Brasil, Ecuador, Colombia y Venezuela; sin embargo, también transportaron aire seco hacia el extremo norte del continente. Asimismo, predominaron patrones de circulación antihoraria, una alrededor de los 28°S sobre el océano Pacífico y otra al este de Brasil (sobre el Atlántico), asociados al ingreso de aire seco (por debajo de los 50% de humedad) sobre el este y sur de Brasil, Chile, Argentina, Uruguay y Paraguay. También, prevaleció una onda con una vaguada ubicada sobre el sur de Chile, que se reflejó desde niveles altos, favoreciendo la inestabilidad en ese sector.

En superficie, el APS presentó una configuración zonal con núcleo en los 38°S y 115°W, con valores de presión alrededor de los 1020 hPa, similar respecto a lo climático y desplazado hacia el suroeste. Asimismo, el AAS se mostró desplazado hacia el este y con valores de presión dentro de su promedio. Por otro lado, no se reflejó el paso de altas migratorias (AM). En niveles bajos, predominaron flujos de componente este sobre el noreste de Sudamérica aportando humedad sobre el norte y centro del continente. Asimismo, se mostró la presencia del JBN sobre el norte de Argentina con velocidades cercanas a 12 m/s, transportando condiciones de inestabilidad y humedad hacia ese sector.

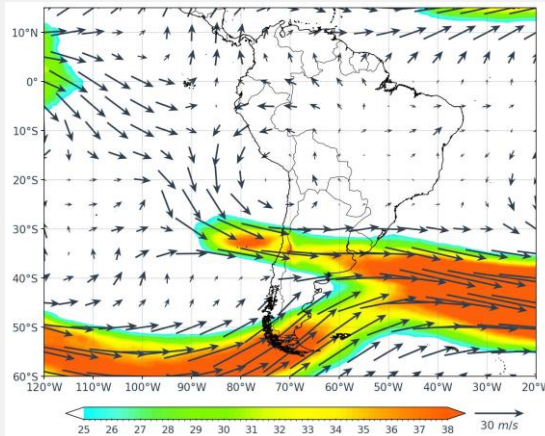
ANÁLISIS

Segunda decadiaria

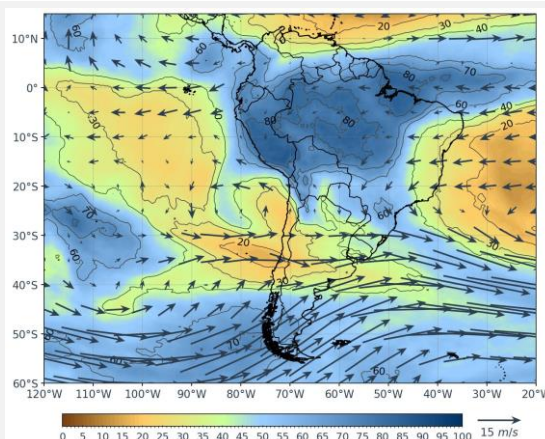
En niveles altos, se presentó una AB con configuración meridional y núcleo sobre los 20°S y 72°W aproximadamente, aportando inestabilidad principalmente sobre Perú, Bolivia, Brasil, Colombia y Ecuador. Además, prevalecieron flujos del oeste desde los 10°N hacia el sur, con componente zonal dominante desde los 30°S a 60°S. Por otro lado, el JS se presentó acoplado con el ramal norte del JP, presentando velocidades promedio máximas cercanas a los 38 m/s (desde los 60°W hacia longitudes menores).

En niveles medios, en gran parte del centro de Sudamérica prevaleció el contenido de humedad alto (entre 60-80% de humedad) principalmente sobre Perú, Brasil, Bolivia, Ecuador y Colombia, debido a la prevalencia de flujos de componente este al norte de Sudamérica; sin embargo, al extremo norte del continente se presentó el ingreso de aire seco. También, predominaron flujos del oeste desde los 25°S hasta latitudes mayores, asociadas a una onda que presentó una vaguada sobre el centro de Chile y Argentina, donde acentuó la inestabilidad; asimismo, prevalecieron patrones de giro anticiclónico uno sobre el océano Pacífico (alrededor de los 25°S) y otro al este de Brasil (proveniente del Atlántico), estos factores favorecieron el ingreso de aire seco (menos del 50% de humedad) sobre el centro-norte de Chile y Argentina, Paraguay, Uruguay, y sur y este de Brasil.

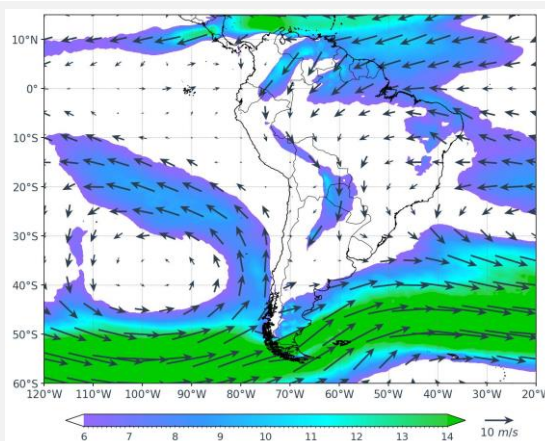
En superficie, el APS presentó una configuración casi meridional con núcleo en los 40°S y 95°W, con valores de presión superiores a los 1024 hPa, más intenso respecto al climático y desplazado hacia el sur. Asimismo, el AAS predominó desplazado hacia el este y con una intensidad dentro del promedio. Por otro lado, no se reflejó el paso de altas migratorias (AM). En niveles bajos, predominaron flujos de origen este sobre el noreste de Sudamérica, los que se desplazaron sobre la amazonia aportando humedad sobre la región norte y centro del continente, además, se presentó el incremento de la velocidad del viento sobre el Colombia, Perú, Bolivia, Paraguay y norte de Argentina con velocidades cercanas a 12m/s, que favoreció al transporte de humedad y a la inestabilidad.



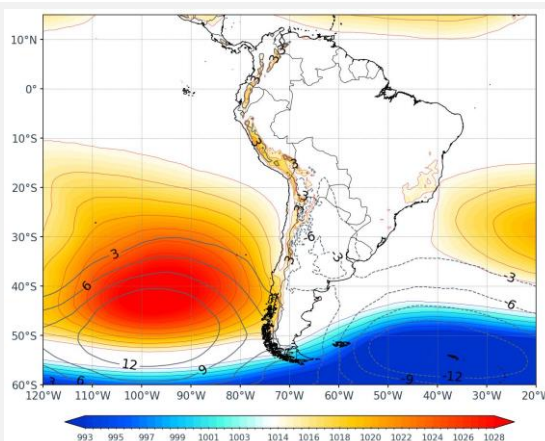
NIVELES ALTOS
Viento (m/s) – 250 hPa



NIVELES MEDIOS
Viento (m/s) – 500 hPa / Humedad (%)



NIVELES BAJOS
Viento (m/s) – 850 hPa

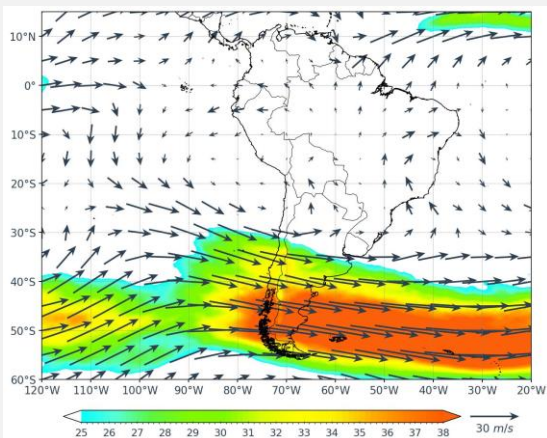


SUPERFICIE
Presión reducida a nivel del mar

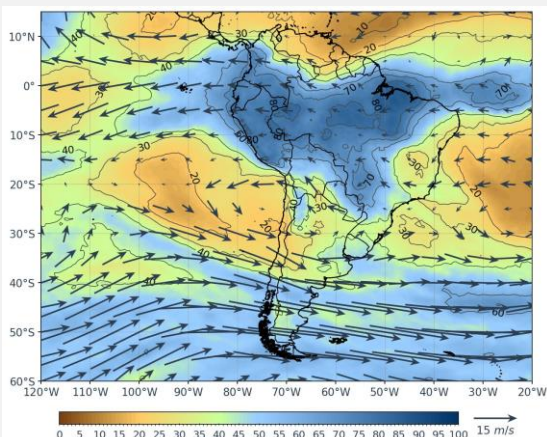
ANÁLISIS

Tercera decadiaria

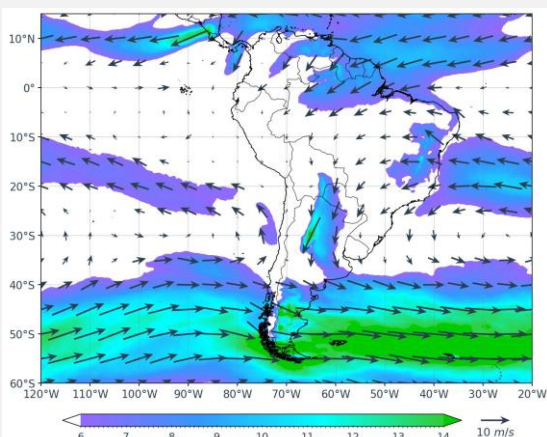
NIVELES ALTOS
Viento (m/s) – 250 hPa



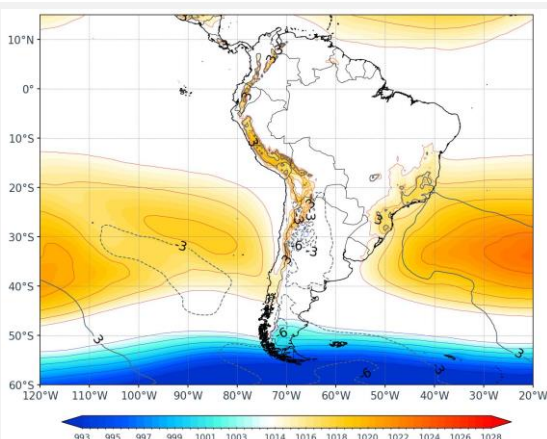
NIVELES MEDIOS
Viento (m/s) – 500 hPa/ Humedad (%)



NIVELES BAJOS
Viento (m/s) – 850 hPa



SUPERFICIE
Presión reducida a nivel del mar

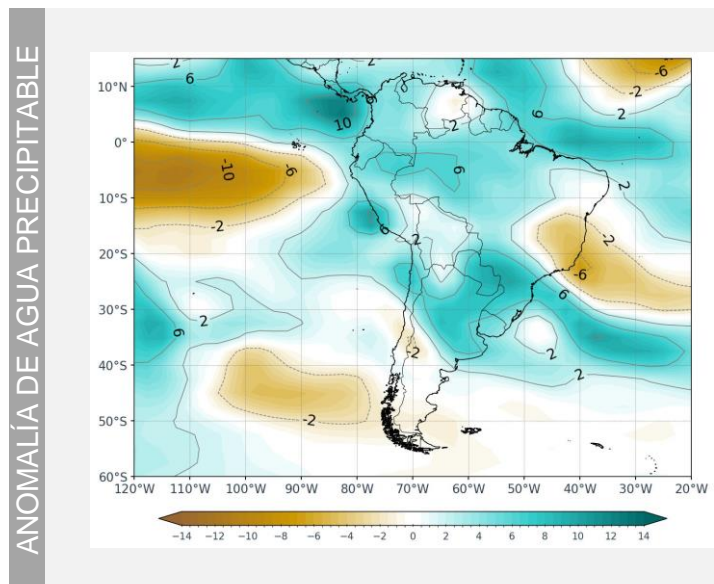
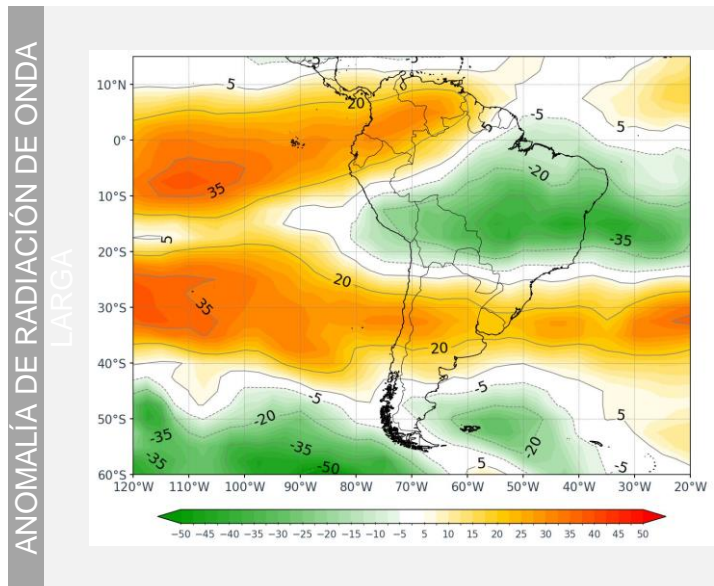


En niveles altos, la AB se presentó poco frecuente sin núcleo definido y con tendencia a desplazarse hacia el Pacífico, aportando inestabilidad principalmente sobre Perú, Bolivia, Brasil, Colombia y Ecuador, asociado a una débil VNB que presentó eje NO-SE. También, se tuvo el dominio de flujos del oeste, desde 10°N hacia 60°S (con componente zonal dominante a partir de los 30°S), asociado a una onda que presentó una vaguada sobre el sur de Chile y Argentina, acentuando las condiciones de inestabilidad sobre ese sector. Por otro lado, el JS predominó acoplado al JP, con velocidades promedio máximas cercanas a 38 m/s desde los 80°W hacia longitudes menores.

En niveles medios, al norte de Sudamérica prevalecieron flujos del este transportando humedad (entre 60-80% de humedad) principalmente hacia Perú, Bolivia, Brasil, Colombia y Ecuador; sin embargo, al extremo norte del continente se presentó el ingreso de aire seco. Así mismo, predominaron patrones de circulación anticiclónica, una sobre el Pacífico (alrededor de los 25°S) y otra al este de Brasil (que se extendió desde el Atlántico); también se presentaron flujos dominantes del oeste desde los 30°S hacia latitudes mayores, asociados a una onda reflejada desde niveles altos, con una vaguada al sur de Chile y Argentina, que acentuó la inestabilidad sobre esos sectores; estos patrones favorecieron el ingreso de aire seco (menor al 50% de humedad) sobre el centro-norte de Chile y Argentina, Paraguay, Uruguay y este de Brasil.

En superficie, el APS presentó una configuración zonal y núcleo en los 38°S y 120°W con valores de presión alrededor de los 1020 hPa, similar respecto al climático y desplazado hacia el suroeste. Por otro lado, el AAS predominó desplazado al oeste de su posición climática y con una intensidad superior a su promedio. Asimismo, no se reflejó el paso de altas migratorias (AM). En niveles bajos, predominaron flujos de origen este sobre el noreste de Sudamérica, aportando humedad sobre el norte-centro del continente, así también, se presentó un incremento de la velocidad del viento sobre Bolivia, Paraguay y el norte de Argentina, alcanzando velocidades cercanas a 13 m/s (reflejando la presencia del JBN) transportando condiciones de humedad e inestabilidad hacia esos sectores.

ANÁLISIS MENSUAL

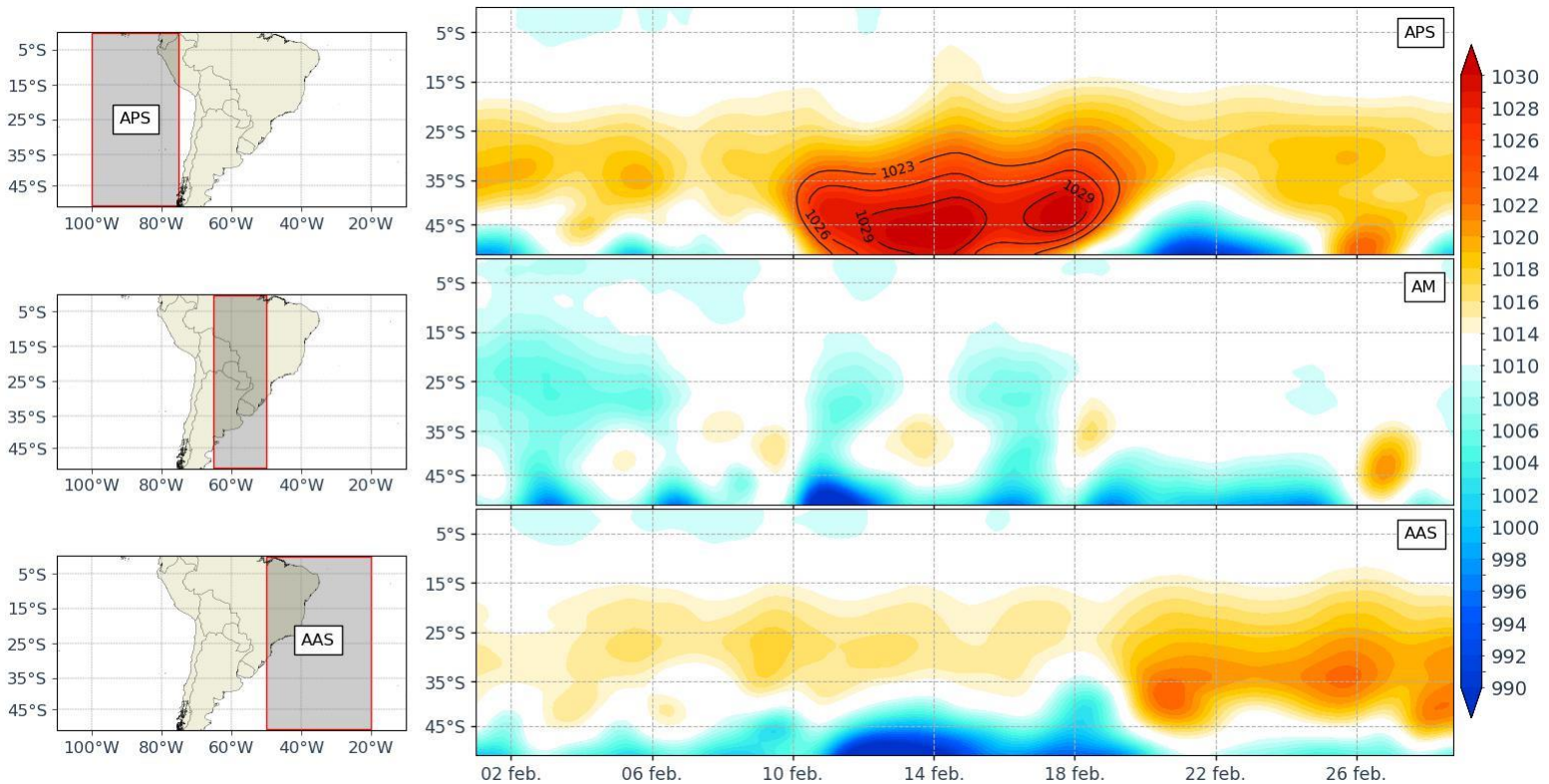


Respecto a las anomalías mensuales de radiación de onda larga, se apreciaron anomalías negativas en gran parte del centro de Sudamérica (principalmente sobre Brasil, Perú, Bolivia y Paraguay), esto asociado a la presencia de mayor nubosidad en respuesta al mayor contenido de humedad respecto a lo climático. Por otro lado, se apreciaron anomalías positivas en gran parte del área de análisis, de forma más intensa en Venezuela, Colombia, Ecuador, Chile y Argentina, relacionadas a la ausencia de nubosidad en la zona, además, estas anomalías positivas podrían ser el reflejo de una disminución en las precipitaciones respecto a lo climático.

Las anomalías mensuales de agua precipitable reflejaron anomalías positivas en gran parte del área de Sudamérica, especialmente sobre Brasil, Colombia, Ecuador, Perú, Chile, Argentina y Paraguay, los cuales estuvieron asociados a un incremento de la misma respecto a su climatología, lo que pudo haberse reflejado con mayor nubosidad y probables precipitaciones. Por otro lado, las anomalías negativas abarcaron principalmente el este de Brasil, y el centro-sur de Chile y Argentina, indicando la poca actividad convectiva y disminución de agua precipitable respecto a su climatología (relacionado a zonas con más sequedad de lo usual).

ANÁLISIS TEMPORAL

Presión reducida al nivel del mar



Durante el mes de febrero, el APS superó los 1023 hPa durante la segunda decadiaria (llegando a presentar incluso valores por encima de los 1029 hPa), para el resto del periodo se tuvieron valores bajos de presión (sección APS). Por otro lado, el AAS llegó a presentar valores más intensos en la tercera decadiaria, sin embargo no llegó a superar los 1023 hPa, el resto del mes presentó valores por debajo y de manera más marcada en la segunda decadiaria (sección AAS). Respecto a las altas migratorias (AM), no se presentó una intensificación con valores cercanos a los 1023 hPa durante el mes, lo cual estuvo asociado a la ausencia de Frijes en la selva peruana.

**Director de Meteorología y Evaluación
Ambiental Atmosférica**

Julio Ernesto Urbiola del Carpio
jurbiola@senamhi.gob.pe

Subdirector de Predicción Meteorológica

Piero Rivas Quispe
privas@senamhi.gob.pe

Elaboración y redacción:

- Bremilda Sutizal Sánchez
bsutizal@senamhi.gob.pe

Para mayor información sobre los avisos meteorológicos, visite este link :
<http://www.senamhi.gob.pe/avisos>

Próxima publicación: ABRIL 2025



**Servicio Nacional de
Meteorología e Hidrología del
Perú - SENAMHI**

Jr. Cahuide 785, Jesús María
Lima - Perú



Central telefónica: 614-1414

**Unidad Funcional de Atención al
Ciudadano:
470-2867**

Pronóstico: 614-1407 o 265-8798
(Atención las 24 horas vía WhastApp)

Consultas y sugerencias:

pronosticador@senamhi.gob.pe